



## تغییر شکل پذیری غیر خطی نهشته های درشت دانه تهران

یدالله حمدادی<sup>۱</sup>، علی فاخر<sup>۲</sup>، بدیل پهلوان<sup>۳</sup>

۱- کارشناس ارشد خاک و پی، گروه عمران دانشکده فنی دانشگاه تهران

۲- دانشیار دانشگاه تهران، دانشکده فنی، گروه عمران

۳- استادیار زمین شناسی

### چکیده:

رسوبات درشت دانه تهران دارای ویژگیهای خاصی مثل ناهمگنی و سیمانتسیون متغیر است. خصوصیات تغییر شکل پذیری این خاکها مورد تحقیق بوده و ثابت شده است که تابع مقادیر کرنش می باشد. تا کون مدل های غیرخطی مثل مدل Fahey برای تغییر شکل پذیری خاک ها پیشنهاد شده است که مدل فاهمی بصورت گستردگی مورد استفاده قرار می گیرد لیکن این مدل ها نمی توانند نشانگر رفتار شن ها از جمله نهشته های درشت دانه تهران باشند. در مقاله حاضر نخست داده هایی از مدول تغییر شکل پذیری خاکهای درشت دانه از جمله خاک تهران بصورت تابع کرنش ارائه می گردد. سپس ناتوانی مدل های غیرخطی مثل مدل فاهمی در پیش بینی رفتار این نوع مصالح نشان داده می شود. در گام بعدی مدل جدید پیشنهاد مولفین که در واقع نوعی مدل اصلاح شده فاهمی است بیان می گردد.

### واژگان کلیدی:

### -۱ مقدمه

مدول تغییر شکل پذیری خاک یکی از متغیرهای مهم است. و برای محاسبه نشست سازه ها بکار می رود. ناگفته پیداست مدول تغییر شکل پذیری خاکها ثابت نیست و با تغییر تنفس همه جانبی (در خاکهای دانه ای) و کرنش (در همه خاکها) تغییر می یابد. وابستگی مدول تغییر شکل پذیری خاک به کرنش بصورت تغییر سختی بر اثر تغییر کرنش بر اثر (یا تنفس بر اثر) بیان می شود. یعنی در یک خاک با افزایش کرنش بر اثر (یا تنفس بر اثر) سختی بر اثر کاهش می یابد. هاردين

و درینویج [۱] نشان دادند که رفتار پیش از گسیختگی ماسه را می‌توان بطور منطقی با یک مدل هیپر بولیک ارائه کرد. آنها نشان دادند که مدل هیپر بولیک برای برآش رفتار واقعی خاکها نیاز به تنظیم دارد و بعداً دیگران این را تأیید کردند. فاهمی و کارتر [۲] در مطالعاتی که روی ماسه انجام دادند به این نتیجه رسیدند که این مدل برای ارائه رفتار واقعی ماسه مورد مطالعه نیاز به اصلاح دارد و لذا مدل مذکور را اصلاح کردند.

پهلوان [۳] مطالعاتی روی آبرفت درشت دانه تهران انجام داد و به این نتیجه رسید که مدل هیپر بولیک ساده و مدل فاهمی هیچکدام برای ارائه رفتار واقعی خاک درشت دانه تهران مناسب نیستند.

مطالعه ای که در این مقاله ارائه می‌گردد در واقع در ادامه کار پهلوان [۳] و به منظور پیشنهاد مدل مناسبی برای این نوع خاکها می‌باشد.

## ۲- مدل‌های ارائه دهنده نحوه تغییر مدول تغییر شکل پذیری خاک با کرنش

مدول تغییر شکل پذیری مصالح را می‌توان با مدول الاستیسیته ( $E$ ) یا سختی برشی ( $G$ ) نشان داد. مهندسان برای محاسبات ساده نشست الاستیک با فرمولهای بسته معمولاً از  $E$  استفاده می‌کنند ولی در برنامه‌های عددی معمولاً  $G$  بکار می‌روند. در هر صورت در محدوده رفتار خطی خاک رابطه  $E$  و  $G$  بصورت ذیل است:

$$G = \frac{E}{2(1+\nu)} \quad (1)$$

در ادامه این مقاله فقط  $G$  به عنوان مدول تغییر شکل پذیری ذکر می‌شود. همانطور که قلا بیان گردید، مقدار  $G$  بصورت غیر خطی تابع کرنش است. رابطه هندولی هارдин و درینویج [۱] یکی از متداول ترین روابط برای نشان دادن رابطه غیر خطی  $G$  و کرنش برشی ( $\gamma_r$ ) است:

$$\frac{G}{G_0} = \frac{1}{1 + \left( \frac{\gamma}{\gamma_r} \right)} \quad (2)$$

$$\gamma_r \text{ کرنش برشی مرجع بوده و با رابطه } \frac{\tau_{\max}}{G_0} \text{ تعریف می‌شود.}$$

$\tau_{\max}$  ، مقاومت برشی خاک و  $G_0$  مدول برشی حدکثر یا به بیان دیگر مدول برشی مربوط به کرنش‌های خیلی کوچک (کوچکتر از  $10^{-6}$ ) است و  $G$  مدول برشی قاطع می‌باشد که در واقع نشان دهنده سختی برشی به ازای  $\gamma$  است. مدول برشی کرنش خیلی کوچک  $G_0$  عموماً در کرنشهای کمتر از  $10^{-6}$  ثابت بوده و تغییر نمی‌کند. می‌توان به جای رابطه (۲) از رابطه معادل آن به شرح ذیل استفاده نمود:

$$\frac{G}{G_0} = 1 - \frac{\tau}{\tau_{\max}} \quad (3)$$



در رفتار هذلولی، منحنی  $G/G_0$  در مقابل  $\tau/\tau_{max}$  یک خط راست (مطابق شکل ۱) است. برای محاسبه نشست می توان جهت سادگی متوسط مقدار کرنش یا تنش را در مساله مورد نظر تخمین زد و سپس از رابطه (۲) یا (۳) مقدار مناسب  $G$  را انتخاب کرد. راه حل دقیق تر محاسبه نشست این است که رابطه دقیق (۲) یا (۳) را در مدل های عددی وارد کرد تا برنامه در هر مرحله مقدار  $G$  را برای المان مربوطه محاسبه کند.

مطالعات نشان داده است که مدل هذلولی انباطق خوبی با نتایج آزمایش‌های سکیلیک دارد. اما زمانی که این مدل را برای داده‌های یکنوا بکار می‌بریم، نرخ تنزل سختی خاک عمدهاً خیلی سریعتر از آن چیزی است که مدل هذلولی نشان می‌دهد [۵]. فاهمی و کارترا [۲] روشی را برای انباطق مدل هذلولی با داده‌های حاصل از آزمایش به شکل زیر ارائه نمودند:

$$\frac{G}{G_0} = 1 - f \left( \frac{\tau}{\tau_{max}} \right)^g \quad (5)$$

در این رابطه  $f$  و  $g$  متغیرهای تجربی هستند. اشکال ۱-الف و ۱-ب به ترتیب منحنی‌های کاهش مدول بشی با کرنش را بصورت رابطه  $G/G_0$  در مقابل  $\tau/\tau_{max}$  و همچنین  $G/G_0$  در مقابل لگاریتم  $\gamma$  را برای  $f$  و  $g$  های مختلف بر اساس رابطه (۵) نشان می‌دهند.

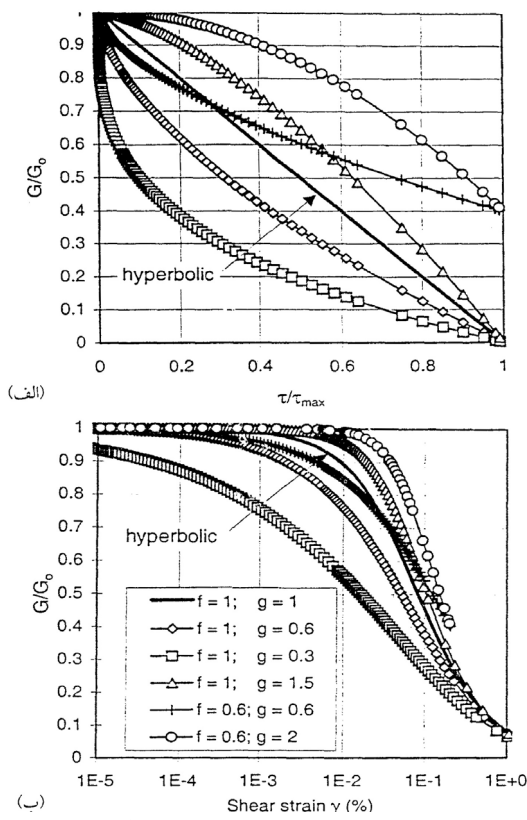
توجه داشته باشیم که اگر  $f$  و  $g$  برابر ۱ انتخاب گردد، همان رابطه هذلولی کامل یعنی رابطه (۳) حاصل خواهد شد.

رابطه فاهمی بصورت گسترده در ادبیات فنی مورد اشاره قرار گرفته و در بسیاری از مطالعات بکار می‌رود.

### ۳- خصوصیات و داده های مربوط به آبرفت‌های تهران

نهشتة های آبرفتی تهران برای اولین بار توسط رین به پنج زیر بخش تقسیم شده است (به نقل از [۶]). این نهشتة‌ها از قدیم به جدید عبارتند از:

- سازند آبرفتی هزار دره (آبرفت‌های A)
- سازند آبرفتی ناهمگن شمال تهران ( $B_N$ ) وسیله‌های رسی کهربیزک (B<sub>S</sub>)
- سازند آبرفتی تهران (آبرفت‌های C)



شکل ۱ منحنیهای تنزل مدول برشی برای مدل فاہی که بصورت در مقابله الف) و  $\frac{\tau}{\tau_{max}}$  در مقابل الف) در نش برشی ترسیم شده اند [۵]  
ب) کرنش برشی کنونی (D)

- سازند آبرفتی خرم‌آباد در باخته ایوانکی

- آبرفتها کنونی (D)

بطور کلی داده های چندانی در خصوص سختی (G) آبرفتها درشت دانه بصورت تابع کرنش در دسترس نمی باشد. پهلوان [۳] دو منطقه کلی در کلان شهر تهران را جهت مطالعه سختی برشی انتخاب کرد. منطقه اول در محل آبرفتها درشت دانه و سیمانی شده سازند هزار دره (آبرفتها (A) واقع شده و مطالعات در این منطقه در ساختگاه هتل پنج ستاره تهران، ساختگاه بزرگراه رسالت (آیت الله حکیم) و نزدیکی برج چند منظوره میلاد تهران انجام شده است ولی بخش اعظم پروفیل خاک در منطقه دوم از آبرفت درشت دانه C یا سازند آبرفتی تهران تشکیل یافته و مطالعات مربوط به این منطقه در محل طرح توسعه کتابخانه دانشگاه تربیت مدرس تهران انجام شده است..

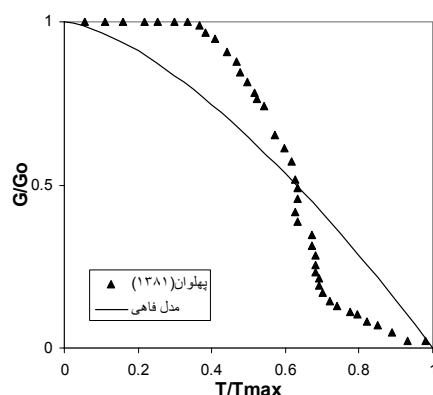
پهلوان [۳] سه نوع آزمایش یعنی آزمایش های موج لرزه ای بر جا، آزمایش های پرسیومتری و آزمایش های بارگذاری صفحه در محلهای مورد مطالعه انجام داد.

بر اساس آزمایش های دانه بنده انجام شده ، خاک هر چهار محل عمده ای دارای طبقه بنده GW-GM، GP-GM، GW-GM و GM، GC، GP-GC، GC یعنی شنی می باشد.

شکل ۲ مثالی از منحنی  $\frac{G}{G_0} - \frac{\tau}{\tau_{max}}$  برای نتایج برخی محلهای مورد مطالعه توسط پهلوان [۳] را نشان می دهد.

جزئیات روشهای آزمایش و داده های حاصل توسط پهلوان [۳] تشریح شده است.

#### ۴- تناقض مدل فاهی با داده های خاک تهران



شکل ۲ منحنی  $\frac{G}{G_0} - \frac{\tau}{\tau_{max}}$  برای خاک مورد مطالعه پهلوان [۳] به همراه بهترین منحنی برآش شده مدل فاهی به آن

در شکل ۲ بهترین منحنی برآش شده فاهی به منحنی  $\frac{G}{G_0} - \frac{\tau}{\tau_{max}}$  خاک مورد مطالعه پهلوان [۳] هم رسم شده است.

در این شکل منحنی فاهی با  $f=1/5$  و  $g=1/5$  رسم شده است. ملاحظه می گردد که این منحنی فاصله بسیار زیادی با رفتار خاک دارد و نمی توان آن را به عنوان نماینده رفتار خاک پذیرفت. مطلب مهم این است که بر اساس مدل فاهی و کارتز،

تععر منحنی  $\frac{G}{G_0} - \frac{\tau}{\tau_{max}}$  نمی تواند عوض شود یعنی در هر منحنی تععر یا به سمت بالا و یا بر عکس است. ولی با

توجه به شکل ۳ ملاحظه می شود تععر منحنی  $\frac{G}{G_0} - \frac{\tau}{\tau_{max}}$  عوض شده است بدینصورت که در ابتدا (در کرنشهای

کم) تععر منحنی رو به پایین بوده و در کرنشهای زیاد این تععر رو به بالا است. با توجه به مطالب فوق به نظر می رسد اصلاح مدل غیرخطی فاهی برای ارائه رفتار خاک مورد مطالعه پهلوان [۳] ضروری است.

### ۵- سایر شن‌های ناسازگار با مدل فاهی

بدنبال عدم سازش رفتار مشاهده شده برای خاک تهران با مدل فاهی تلاش گردید داده هایی از سایر شن‌ها از ادبیات فنی اخذ گردد. برخی مثال‌ها در اینجا می‌آید.

رولینز و همکاران [۷] مطالعاتی را روی شن‌ها انجام دادند. آنها برای بررسی تأثیر مقدار شن روی مدول برشی در ماسه‌های شنی و شن‌های ماسه‌ای یک سری آزمایش دینامیکی روی نمونه‌های حاوی ۰، ۲۰، ۴۰ و ۶۰ درصد شن انجام

داده اند. شکل ۳ منحنی  $\frac{G}{G_0} - \frac{\tau}{\tau_{max}}$  را برای منحنی حاوی ۶۰٪ شن نشان می‌دهد. در این شکل بهترین منحنی

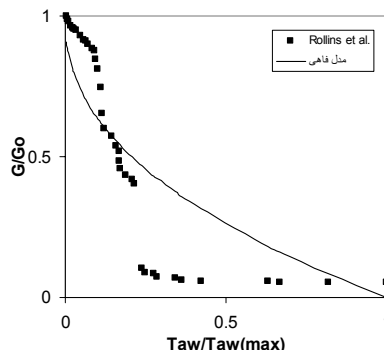
برازش شده فاهی هم رسم شده است. این منحنی با  $f = 0/44$  و  $g = 0/039$  رسم شده است. همانطور که ملاحظه می‌شود مدل فاهی کماکان قادر نیست ارائه دهنده رفتار خاک حاوی ۶۰٪ شن باشد.

لین و همکاران [۸] یک سری آزمایش‌های آزمایشگاهی و برجا را روی نهشته‌هایی از قلوه سنگهای شنی در تایچانگ که

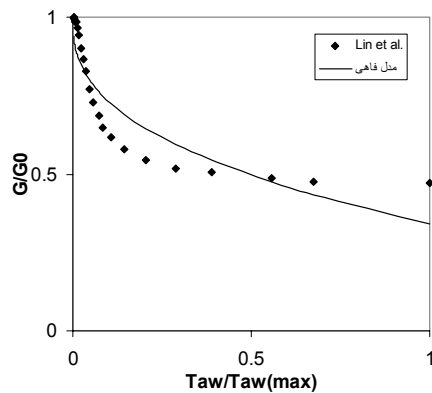
منطقه‌ای در تایوان است انجام دادند. منحنی  $\frac{G}{G_0} - \frac{\tau}{\tau_{max}}$  برای این خاک در شکل ۴ نشان داده شده است. در این

شکل بهترین منحنی برازش شده فاهی با  $f = 0/66$  و  $g = 0/039$  رسم شده است که به نظر نمی‌رسد برازش مناسبی باشد.

بنابراین مدل فاهی برای ارائه رفتار سختی غیرخطی این خاک نیز مناسب نیست ولی اختلاف مدل با رفتار خاک بسیار زیاد نیست.



شکل ۳ منحنی  $\frac{G}{G_0} - \frac{\tau}{\tau_{max}}$  برای نمونه حاوی ۶۰ درصد ذرات شنی [۷] به همراه بهترین منحنی برازش شده فاهی به آن



شکل ۴ منحنی  $\frac{G}{G_0} - \frac{\tau}{\tau_{max}}$  برای شن قلوه سنگی [۸] به همراه بهترین منحنی برآش شده فاہی به آن

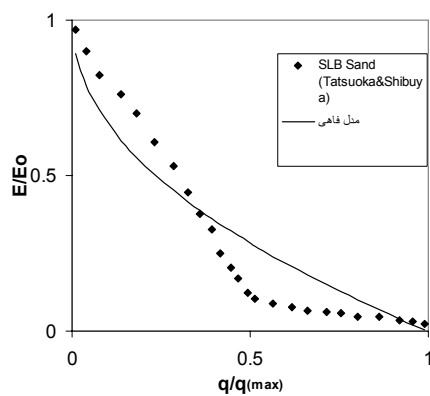
تاتسوکا و شیبویا [۴] منحنیهای کاهش مدول  $(E/E_0)$  را برای محدوده وسیعی از مصالح ژئوتکنیکی ارائه کرده اند. از بین این منحنیها منحنی مربوط به ماسه SLB در شکل ۵ رسم شده است. بهترین منحنی برآش شده فاہی به منحنی شکل ۵ که در شکل هم رسم شده است با  $f = 0.48$  و  $g = 0.48$  بدست آمده است. کماکان ملاحظه می شود که مدل فاہی برای ارائه رفتار سختی غیرخطی ماسه SLB نیز مناسب نیست.

پارک [۹] یک سری آزمایش بارگذاری سه محوری سیکلیک روی نمونه های عادی تحکیم یافته ( $e_r = 0.661$ ،  $OCR = 0.668$ ،  $OCR = 1$ ) از ماسه متراکم توپورا

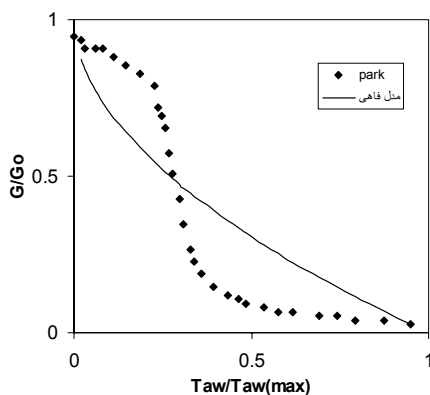
انجام داده است. نتایج این آزمایش برای نمونه پیش تحکیم یافته، بصورت منحنی  $\frac{G}{G_0} - \frac{\tau}{\tau_{max}}$  در شکل ۶ نشان داده شده است. در این شکل بهترین منحنی برآش شده فاہی هم رسم شده است و عدم انطباق دیده می شود.

#### ۶- اصلاح مدل فاہی

همانطور که در بخش قبلی نشان داده شد، مدل فاہی در برخی موارد نمی تواند رفتار غیرخطی شن ها را ارائه دهد و لازم است اصلاح گردد.



شکل ۵- منحنی  $\frac{E}{E_0} = \frac{q}{q_{\max}}$  برای ماسه SLB [۴] به همراه بهترین منحنی برآورد شده فاهی به آن



شکل ۶- منحنیهای  $\frac{G}{G_0} = \frac{\tau}{\tau_{\max}}$  برای نمونه پیش تحکیم یافته ماسه تویورا [۹] به همراه بهترین منحنی برآورد شده فاهی به آن

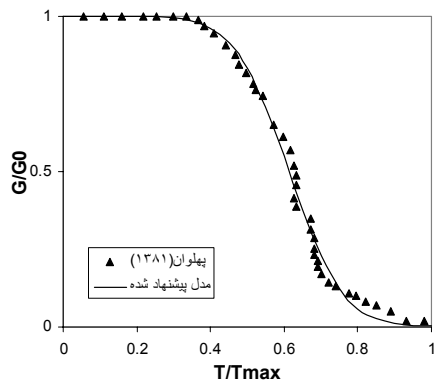
برای اصلاح این مدل، روابط ریاضی زیادی بصورت آزمون و خطاب به داده های نقض کننده مدل فاهی برآورد شد. برخی روابط برای یک دسته از اطلاعات مناسب و برای برخی دیگر نامناسب تشخیص داده شدند. بالاخره رابطه ذیل برای کلیه داده ها مناسب تشخیص داده شد:

$$\frac{G}{G_0} = \left( 1 - \alpha \cdot f \cdot \left( \frac{\tau}{\tau_{max}} \right)^g \right)^\beta \quad (6)$$

مزیت رابطه (۶) این است که رابطه فاهی نیز در آن وجود دارد با این تفاوت که ضریب  $\alpha$  و توان  $\beta$  به آن اضافه شده است. به بیان دیگر، رابطه فاهی حالت خاص رابطه (۱) می‌باشد. اگر  $\alpha = \beta = 1$  باشد این رابطه تبدیل به رابطه فاهی و اگر  $\alpha = \beta = f = g = 1$  باشد تبدیل به رابطه هیپربولیک ساده خواهد شد.

متغیرهای  $\alpha$  و  $\beta$  هر مقدار دلخواهی را میتوانند بگیرند و مقدار آنها از برآش معادله به داده‌های تجربی بدست می‌آید. متغیرهای  $f$  و  $g$  هم همان تعریف  $f$  و  $g$  مدل فاهی را دارند.

برای مقایسه رابطه (۶) با نتایج مطالعات پهلوان برای خاک درشت دانه تهران، منحنی شکل ۲ در شکل ۷ رسم شده است. در این شکل مدل جدید با  $\alpha = -8/47$ ,  $g = 7/96$ ,  $f = 1$ ,  $\beta = -2/75$  رسم شده است. ملاحظه می‌گردد که مدل جدید برای این منحنی مناسب است.



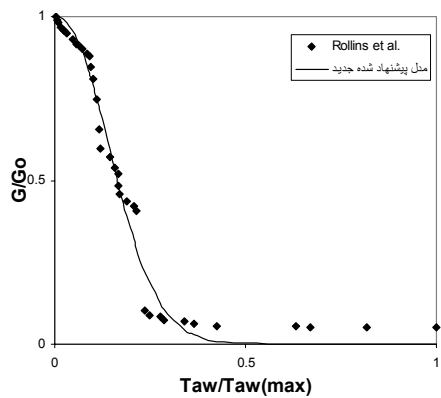
شکل ۷ منحنی خاک درشت دانه تهران در مطالعه پهلوان [۳] به همراه بهترین برآش مدل پیشنهاد شده

در ادامه، مدل پیشنهاد شده جدید به منحنی‌های اشکال ۴، ۵ و ۶ برآش شده و نتایج در اشکال ۸ الی ۱۱ رسم شده و پارامترهای منحنیهای برآش شده هم در این اشکال آمده است. در همه این شکلها مقدار ضریب همبستگی منحنی جدید بیشتر از مدل فاهی است بنابراین در همه موارد مدل جدید قابلیت ارائه شکل کلی رفتار غیرخطی خاکهای شنی مثل خاک درشت دانه تهران را دارد.

### ۱۳- نتیجه گیری

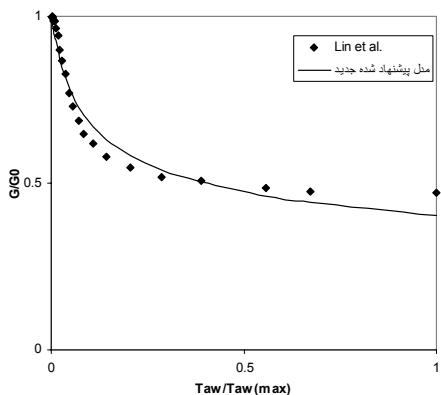
بر اساس آنچه در مقاله اشاره گردید، نتیجه گیری می شود که:

- ۱- مدل فاہی برای ارائه رفتار اغلب خاکهای درشت دانه شنی مناسب نمی باشد. برای مثال می توان به خاک درشت دانه تهران [۳] اشاره کرد.
- ۲- مدل جدید ارائه شده در این پژوهش که اصلاحی بر مدل فاہی می باشد، بخوبی نشان دهنده تغییرات سختی با کرنش در خاک های شنی می باشد.



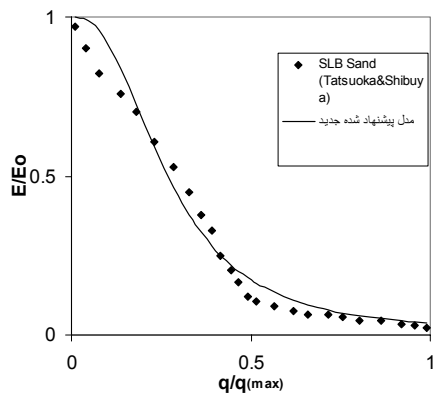
شکل ۸ - منحنی نمونه حاوی ۶۰٪ ذرات شنی [۷] به همراه بهترین برآزش مدل جدید با

$$\beta = -11/13, \alpha = -3/62, g = 2/23, f = 1$$

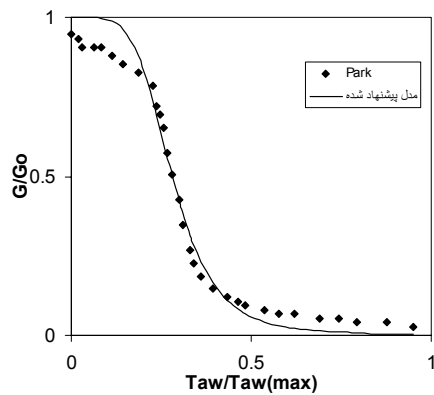


شکل ۹ - منحنی شن قلوه سنگی [۸] به همراه بهترین برآزش مدل جدید با

$$\beta = -1/2, \alpha = -174, g = 1/21, f = 0/55$$



شکل ۱۰ - منحنی ماسه SLB [۴] به همراه بهترین برآزن مدل جدید با  $\beta = -1$ ,  $\alpha = -26/93$ ,  $g = 2/5$ ,  $f = 1$



شکل ۱۱ - منحنی نمونه پیش تحقیم یافته ماسه توپورا [۹] به همراه بهترین برآزن مدل جدید با  $\beta = -511/51$ ,  $g = 4/87$ ,  $f = 1$ ,  $\alpha = -10/97$

#### ۱۴- منابع

- Hardin, B.O. and Drnevich, V.P. (1972b), Shear modulus and damping in soils: design equations and curves, *J. Soil Mech. and Found. Div.*, ASCE, 98(SM7), PP. 667-692
- Fahey, m., and Carter, J.P. (1992), A finite element study of the pressuremeter test in sand using a non-linear elastic plastic model, *Can. Geotech. J.*, Vol. 30, PP. 438-362.
- پهلوان، ب. (۱۳۸۱)، مطالعه تغییرشکل پذیری آبرفت درشت دانه تهران با استفاده از پرسیومتر، پایان نامه دکتری، دانشگاه تربیت مدرس.

4. Tatsuoka, F. and Shibuya, S. (1992), Deformation characteristics of soils and rocks from field and laboratory tests, *Report of the Institute of Industrial Science, The University of Tokyo*, 37(1), PP. 1-144.
5. Fahey, M. (1998), Deformation and in situ stress measuremeny, *Proc. 1<sup>st</sup> Int. Conf. on Site Caracterization, ISC-98*, Atlanta, Georgia, PP. 49-69
6. بربیان، م؛ قریشی، م؛ ارپنگ روس، ا. و مهاجر اشجعی، ا. (۱۳۶۴)، پژوهش و بررسی پرف نو زمین ساخت و خطر زمین لرزه- گسلش در گستره تهران و پیرامون، گزارش شماره ۵۶ سازمان زمین شناسی کشور.
7. Rollins, K. M., Evans, M. D., Diehl N. B., and Daily III, W. D., Members, ASCE, (1998), Shear modulus and damping relationships for graveld, *J. of Geotech. And Geoenvir. Engng*, Vol. 124, No. 5, PP. 396-405.
8. Lin, S.Y., Lin, P.S., Luo, H. S. and Juang C. H., (1999), Shear modulus and damping ratio characteristics of gravelly deposits, *Can. Geotech. J.*, Vol. 37, PP. 638-651.
9. Park, C.S. (1993), Deformation and strength characteristics of a variety of sands by plane strain compression tests, Ph.D. thesis, Univ. of Tokyo.